

Fig 6.7 Photomultiplier

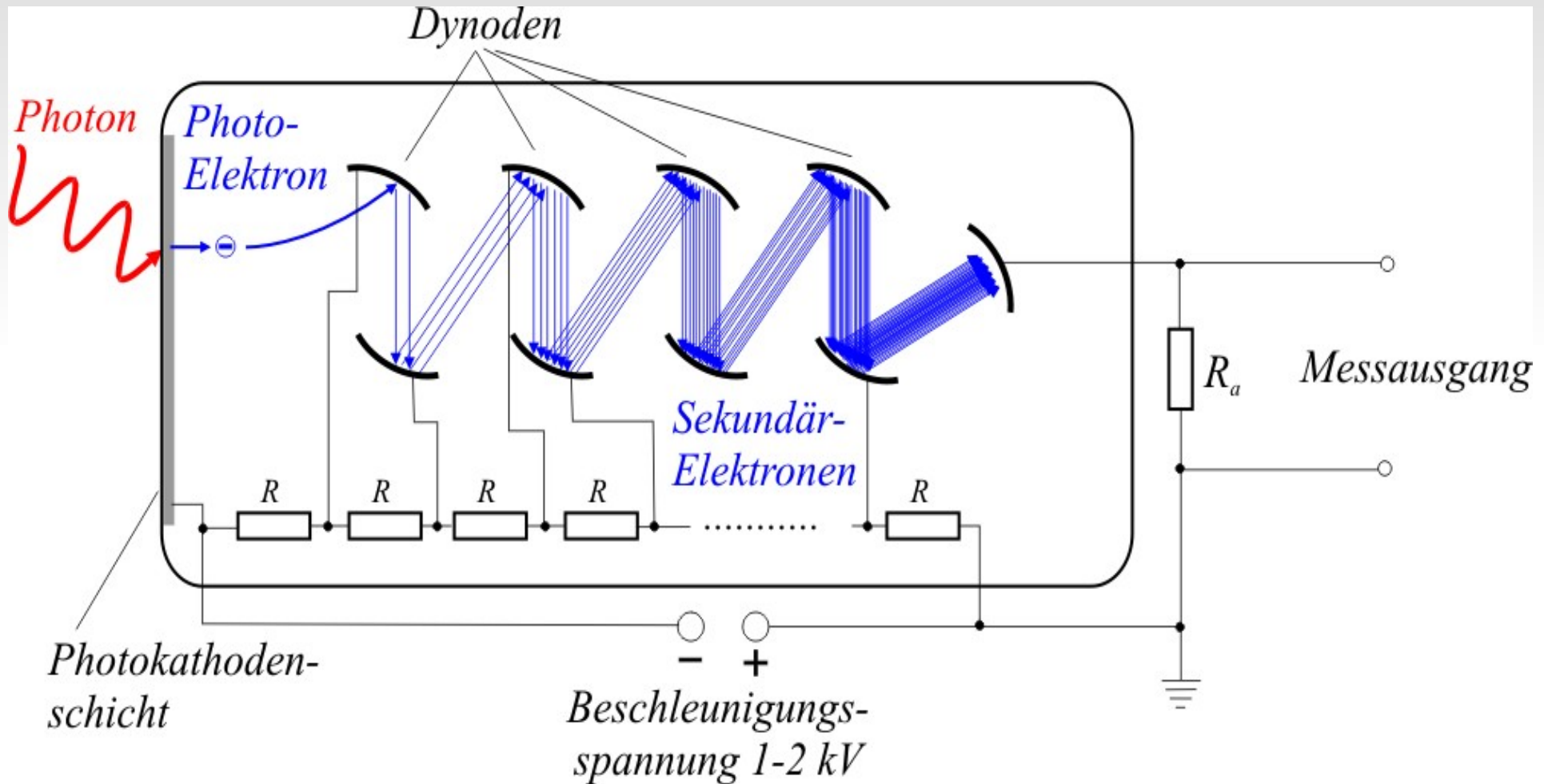


Fig 6.8a Photokathoden, Quanteneff. u. Sensitivität

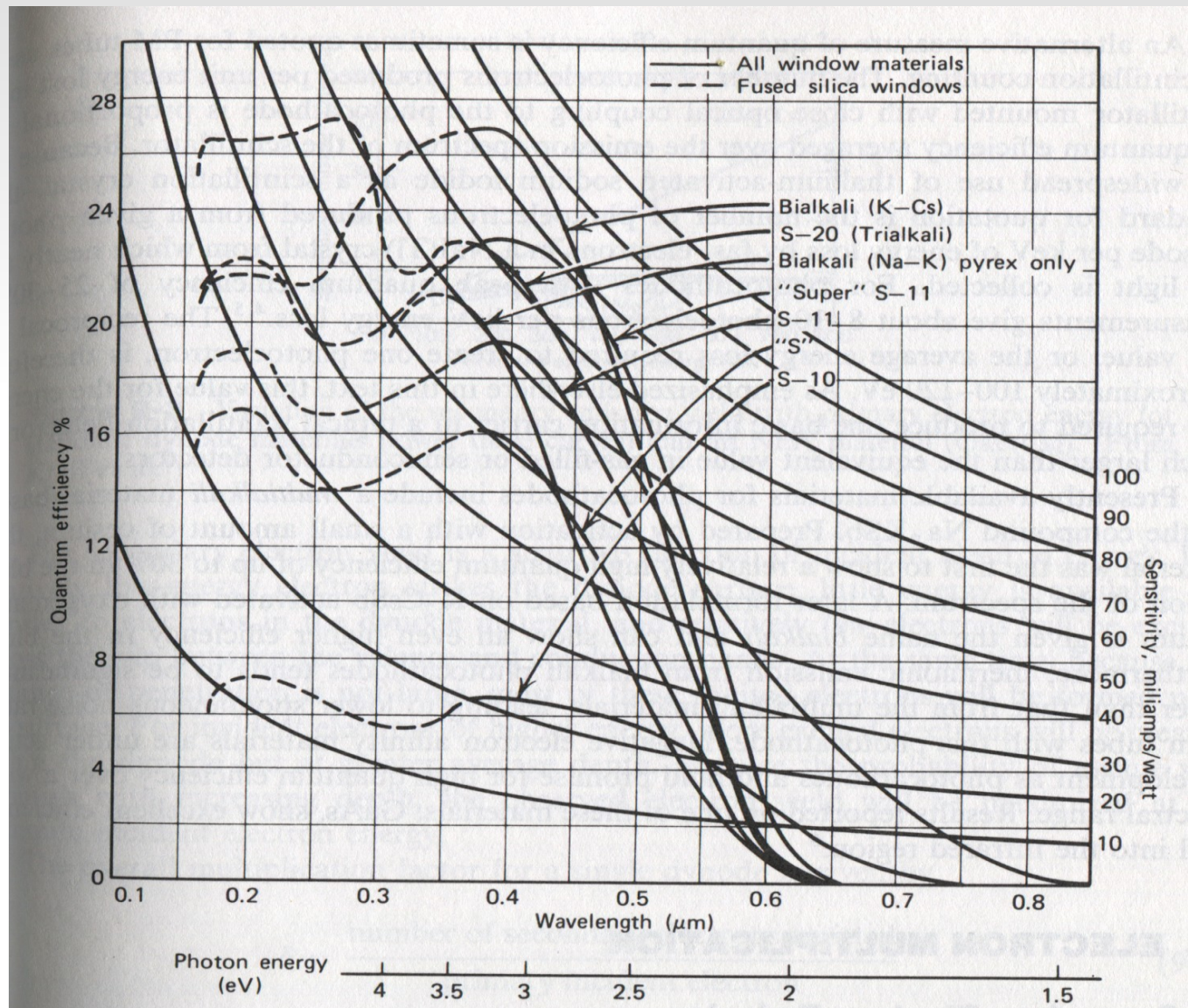


Fig 6.8b Photokathoden-Materialien

| Cathode type | Composition | λ at peak response [nm] | Quantum efficiency at peak |
|--------------|-------------|---------------------------------|----------------------------|
| S1 (C) | Ag – O – Cs | 800 | 0.36 |
| S4 | SbCs | 400 | 16 |
| S11 (A) | SbCs | 440 | 17 |
| Super A | SbCs | 440 | 22 |
| S13 (U) | SbCs | 440 | 17 |
| S20 (T) | SbNa – KCs | 420 | 20 |
| S20R | SbNa – KCs | 550 | 8 |
| TU | SbNa – KCs | 420 | 20 |
| Bialkali | SbRb – Cs | 420 | 26 |
| Bialkali D | Sb – K – Cs | 400 | 26 |
| Bialkali DU | Sb – K – Cs | 400 | 26 |
| SB | Cs – Te | 235 | 10 |

Fig 6.9 Electron-Optical Input System

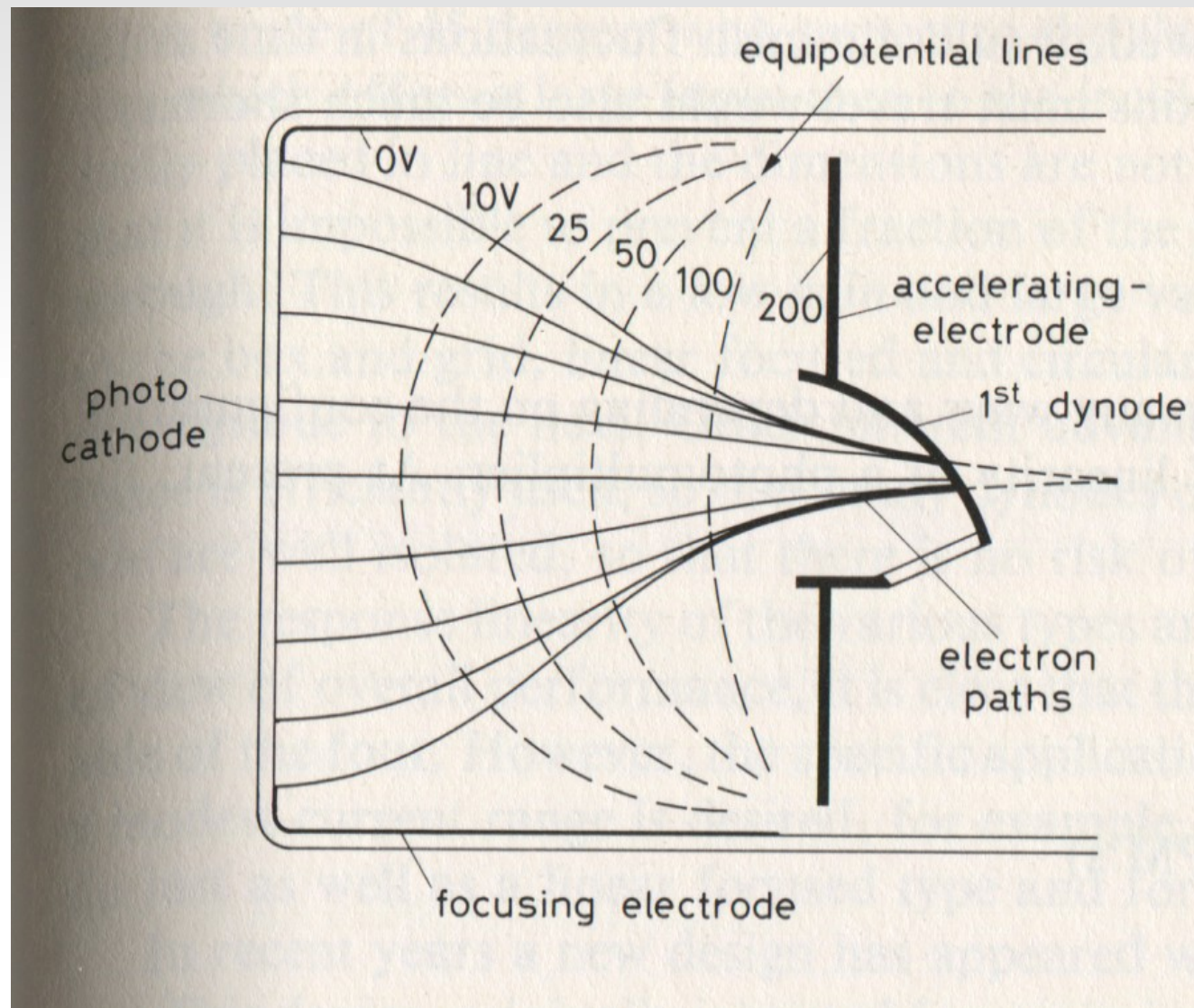


Fig 6.10 Versch. Dynodenkonfigurationen

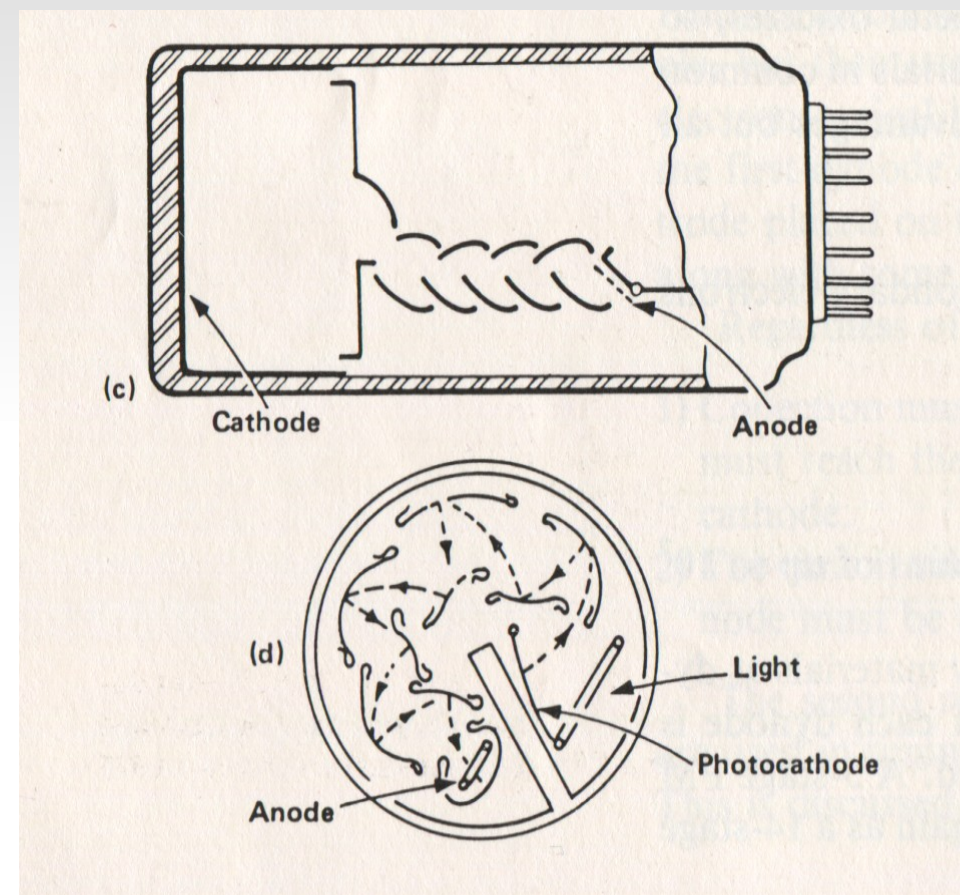
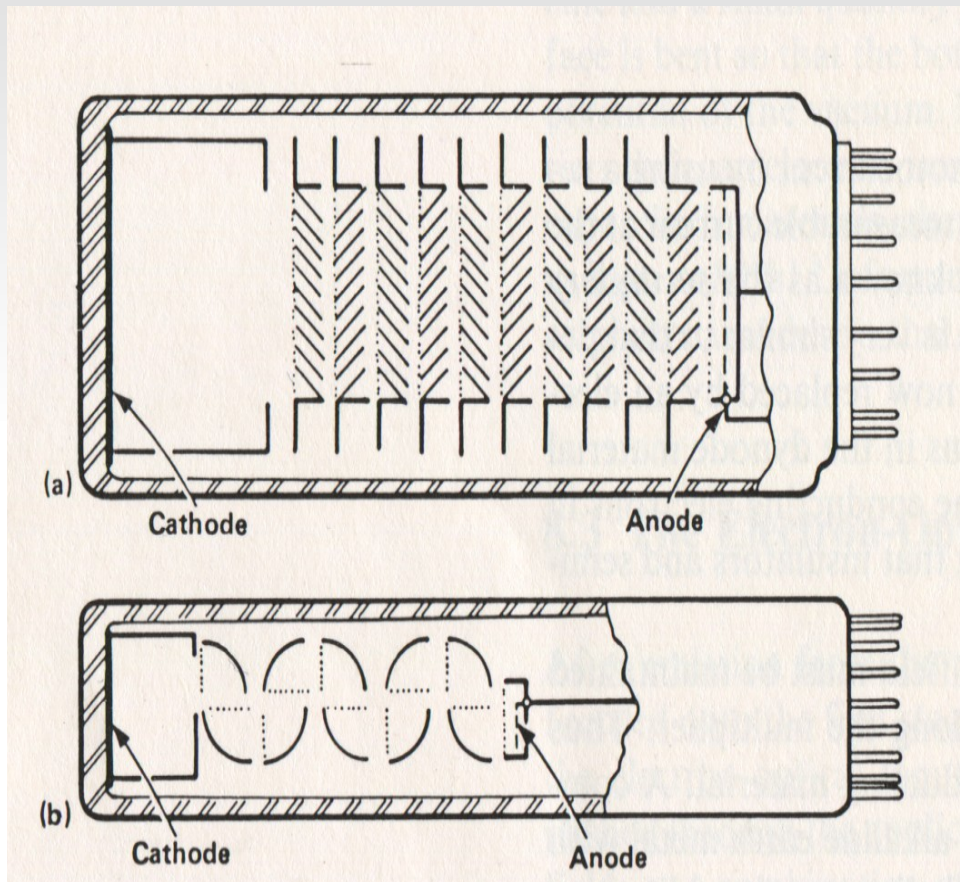


Fig 6.11 Temperaturabhängigkeit des Dunkelstroms

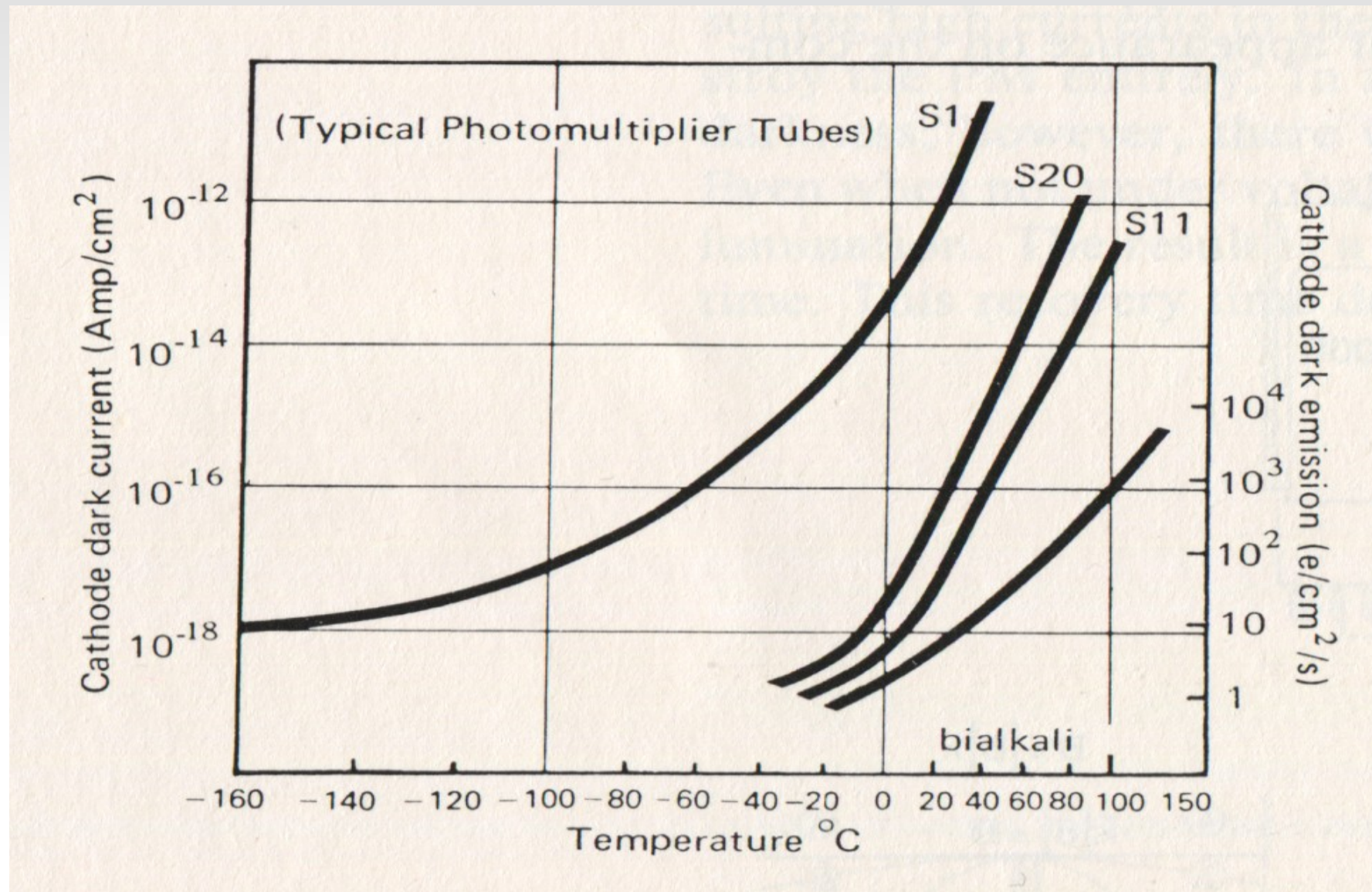


Fig 6.12 Lichtleiter

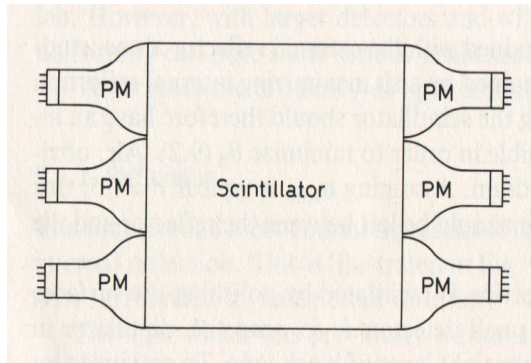
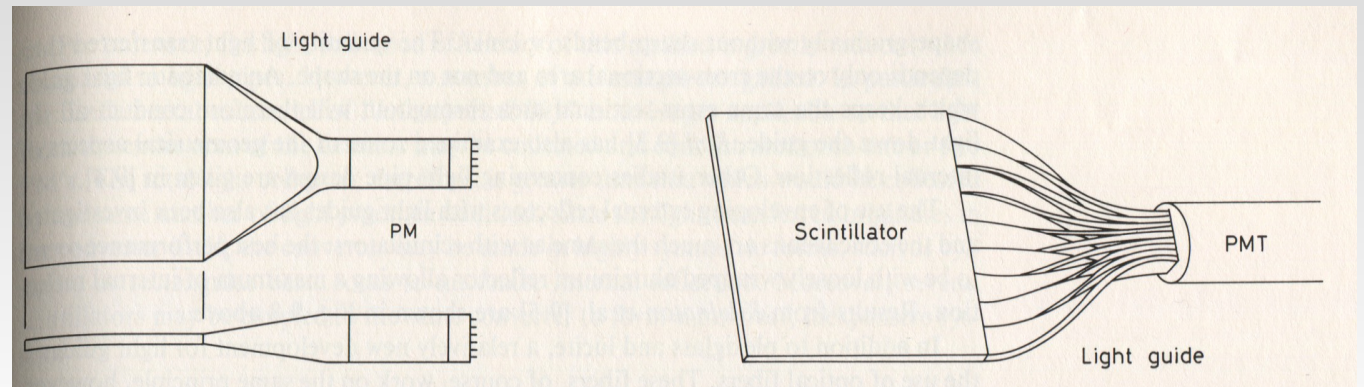
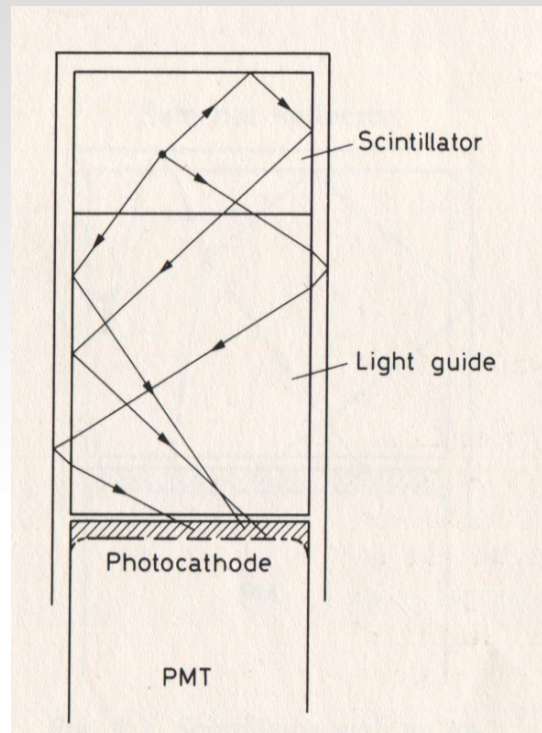


Fig 6.13 Elektromag. Schauer

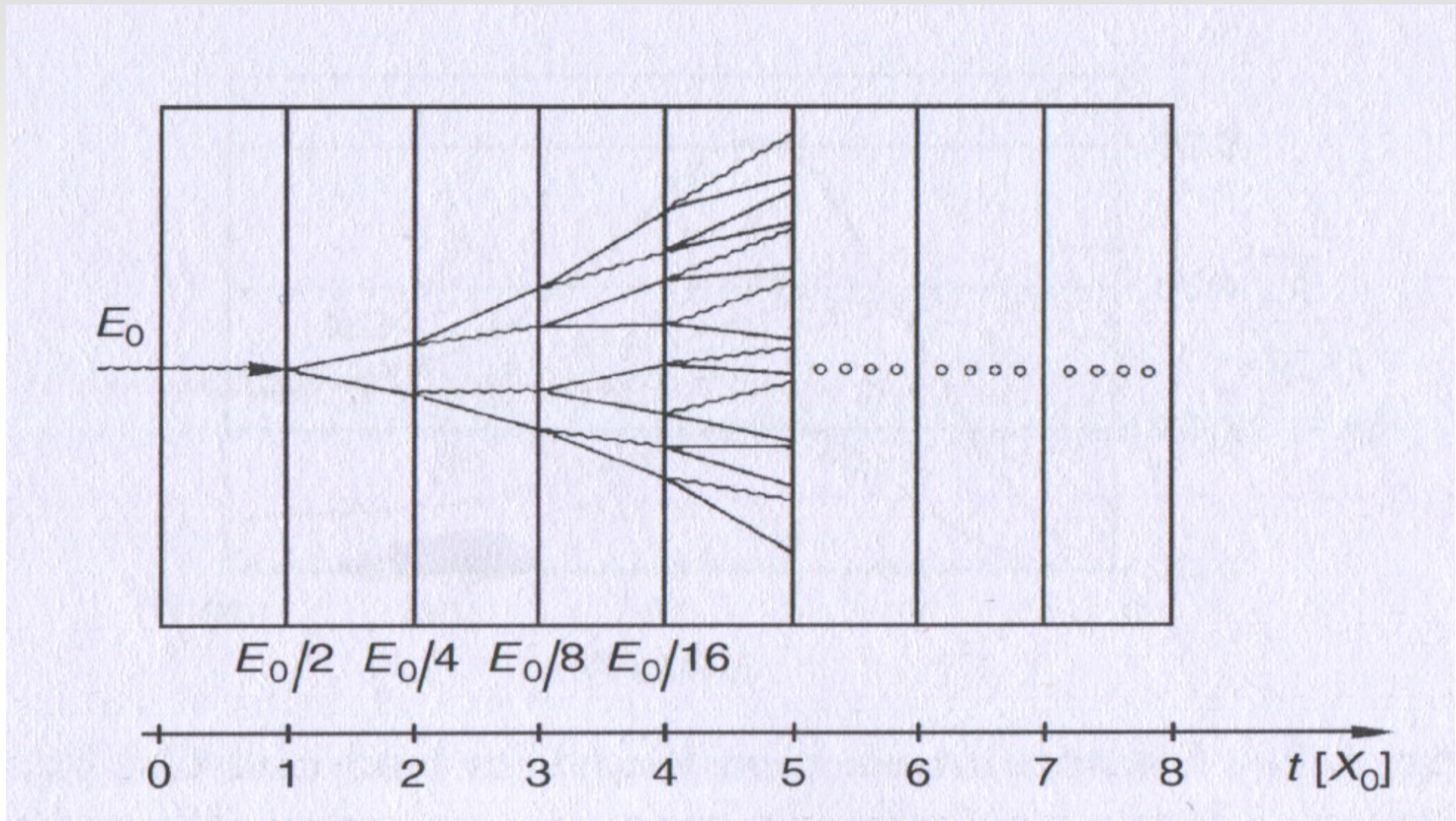


Fig 6.14 EGS4-MC, 10GeV e

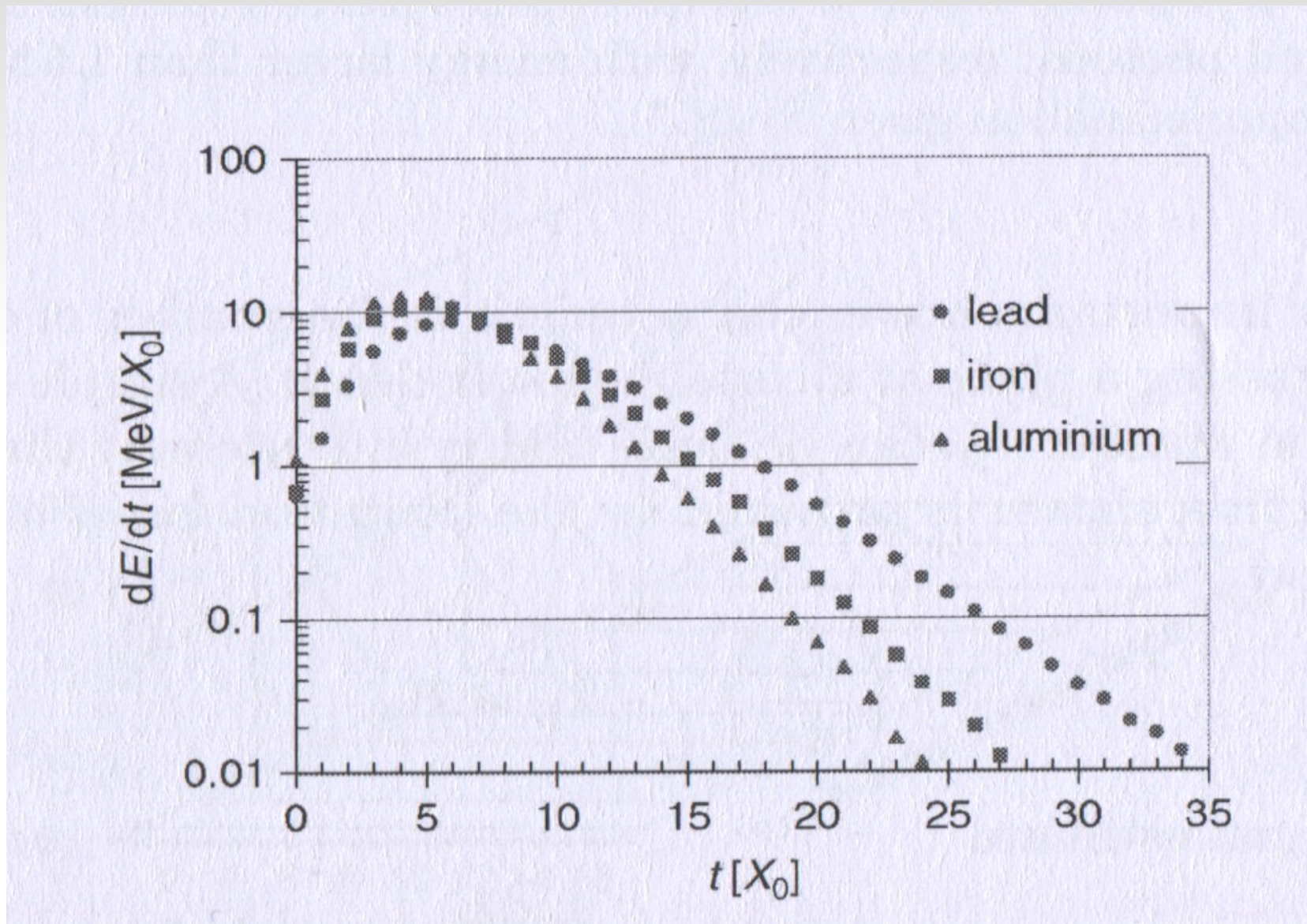
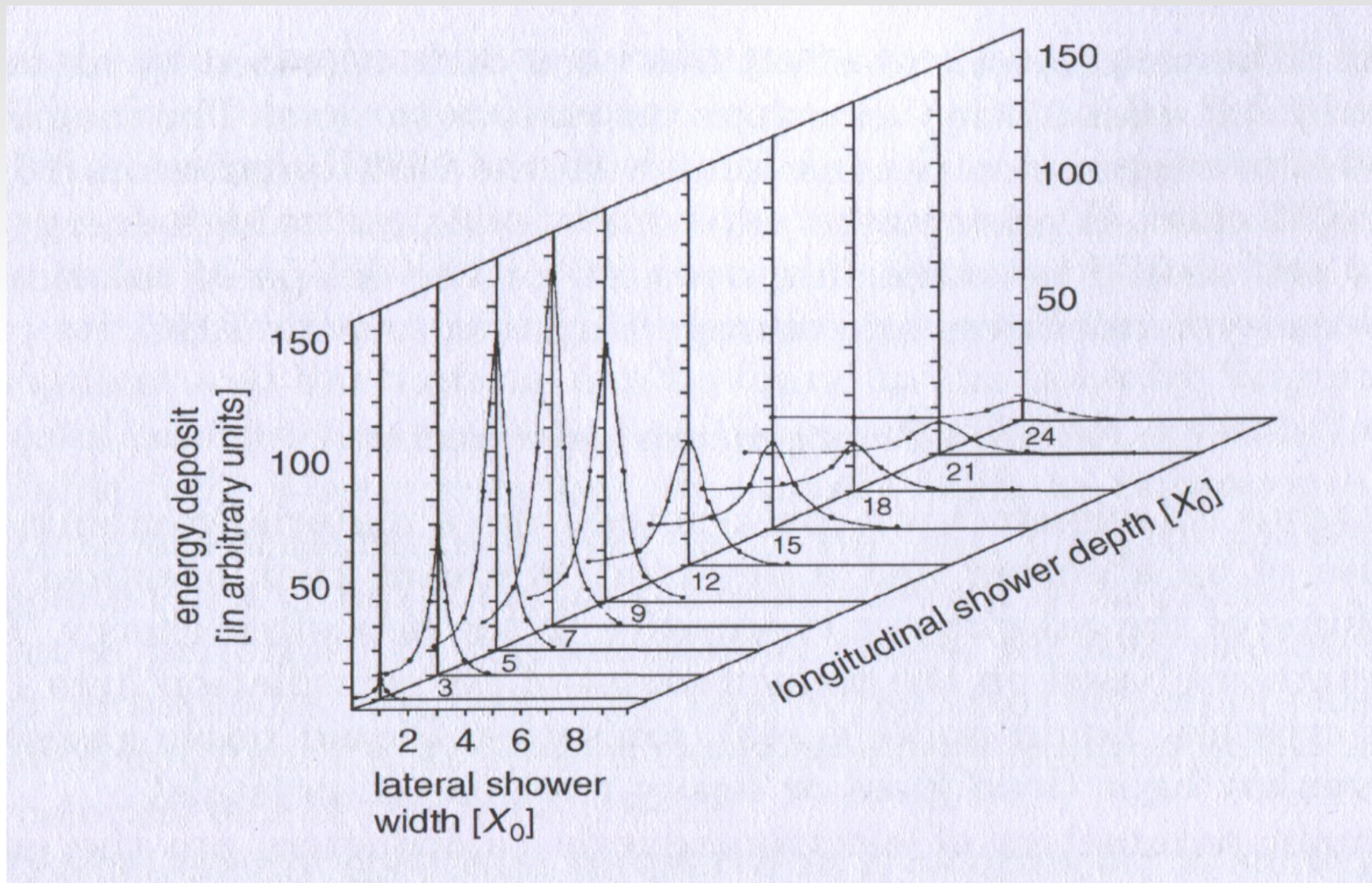


Fig 6.15 MC-Simulation, 6Gev Elektron in Blei



**Fig .16 Energiespektrum von
5-7GeV Photonen in CsI**

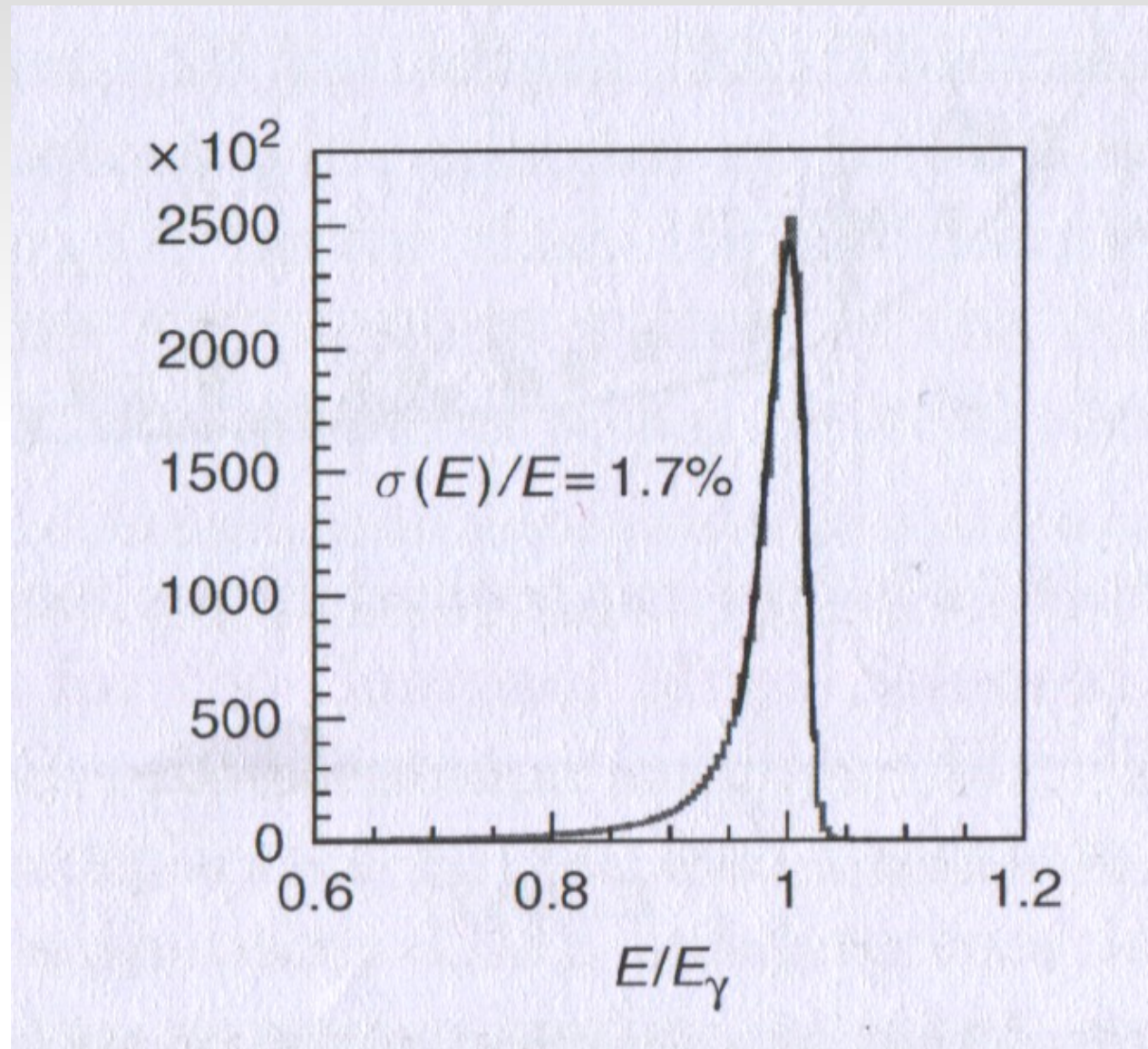


Fig 6.17 Energieauflösung bei BELLE (CsI mit $d=16X_0$)

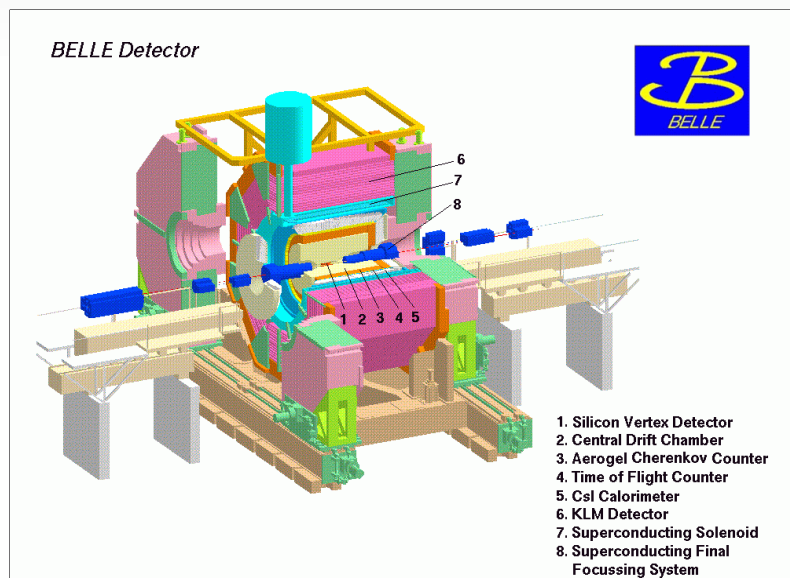
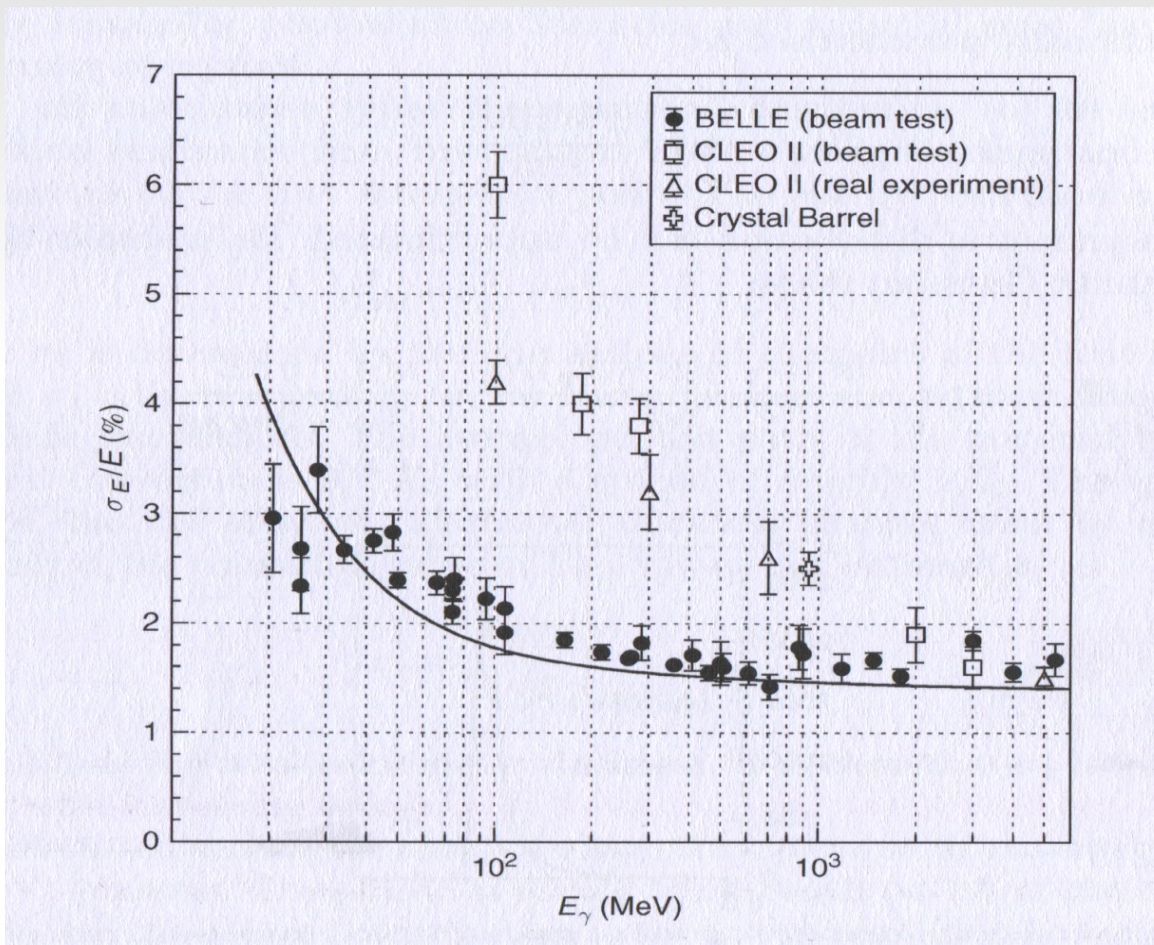


Fig 6.18 Sampling-Kalorimeter mit 2-fach Wellenlängenschieber

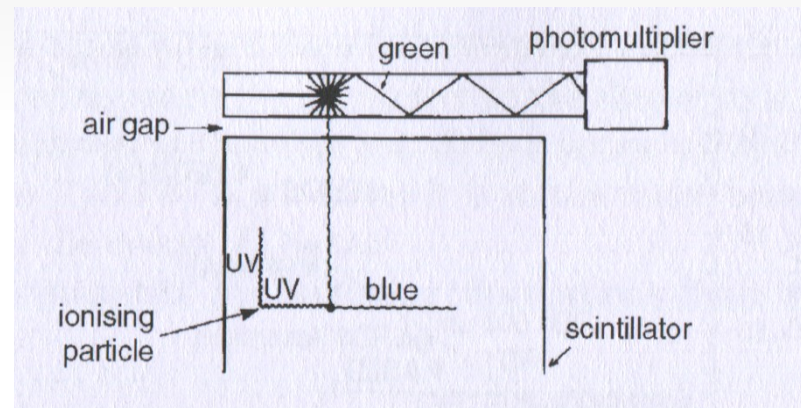
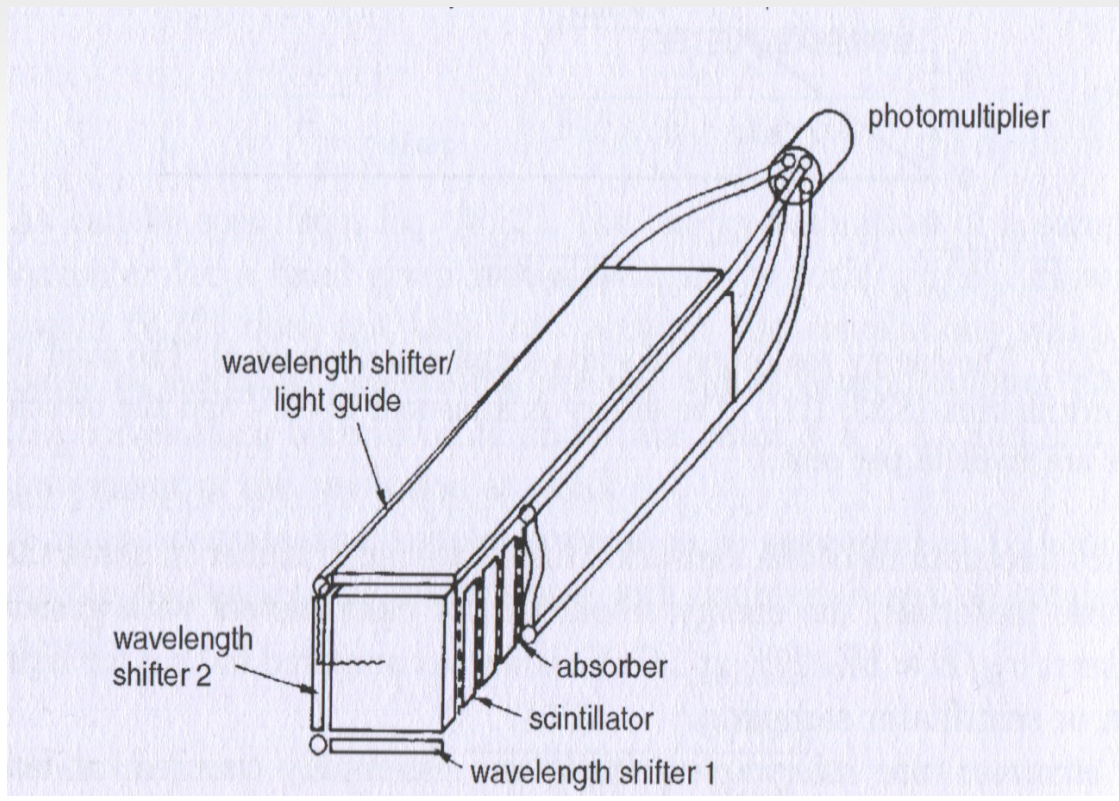


Fig 6.19 Integrierter EM/Had-Kalorimeter-Tower

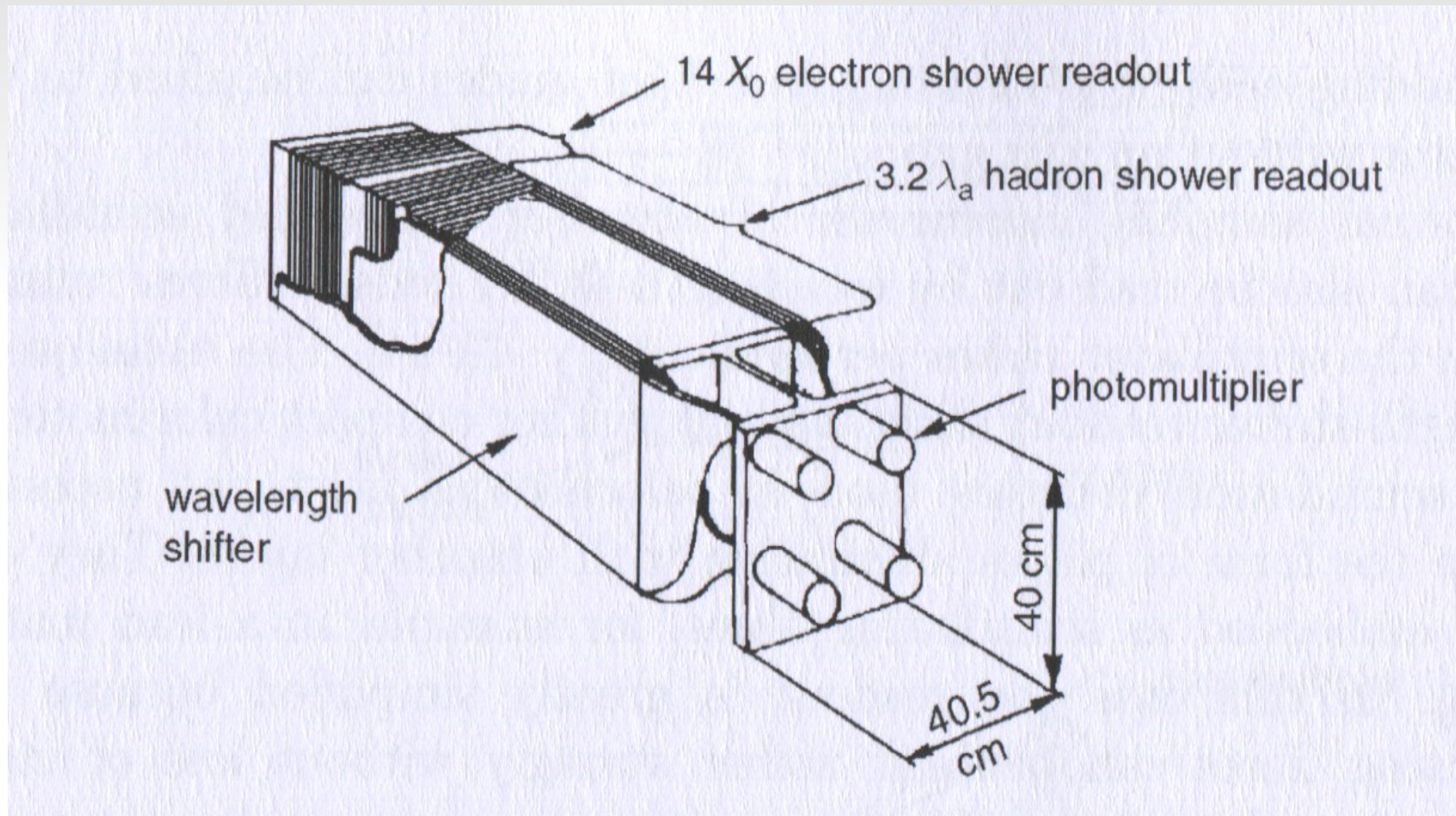


Fig 6.20 Hadr. Schauer

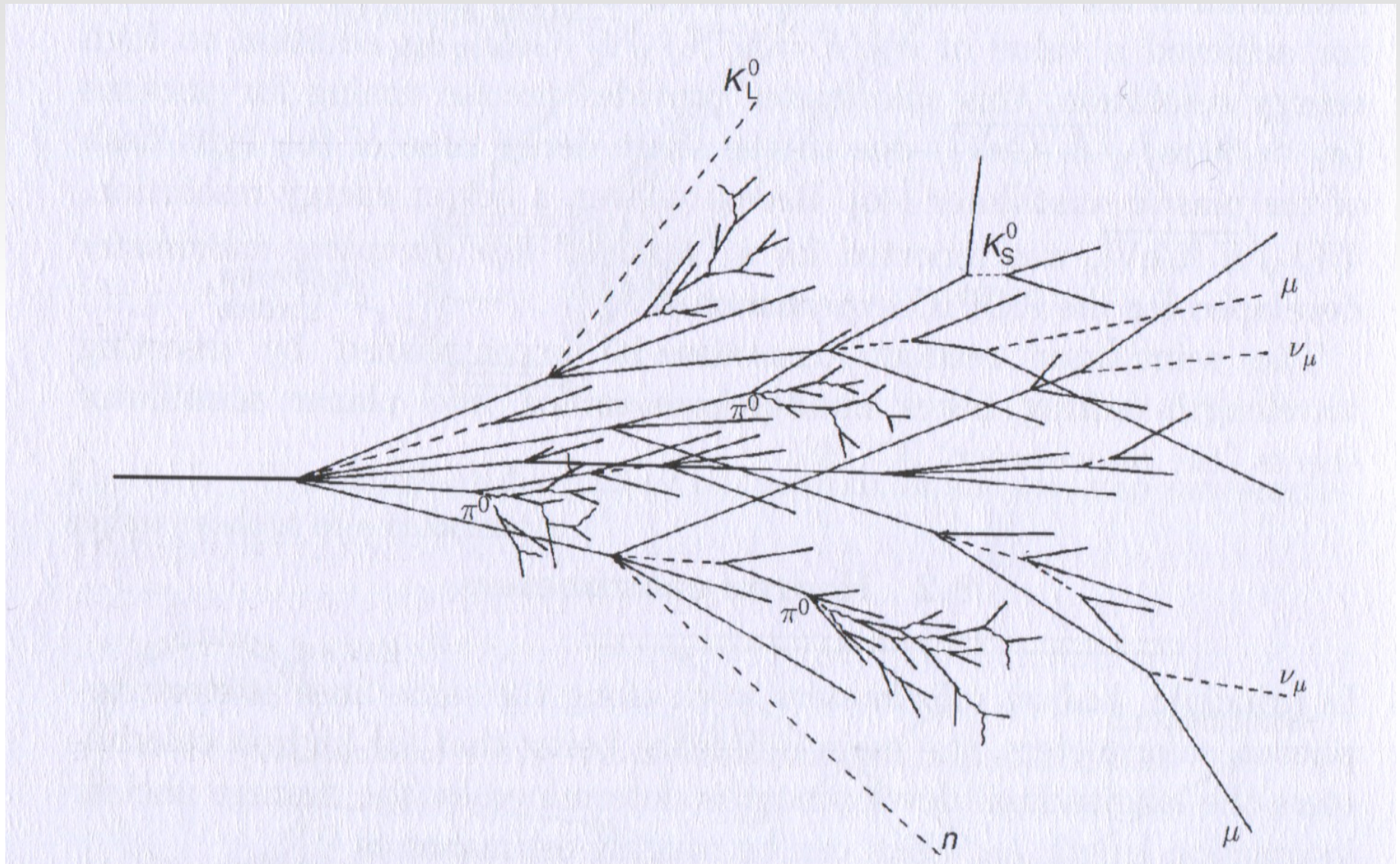


Fig. 6.21 Long. Schauerprofil mit π^0 -Komponente

